

ПРЕОБРАЗОВАНИЯ ЕНЕРГІИ В ИМПУЛЬСНОМ ВЗРЫВОМАГНИТНОМ ГЕНЕРАТОРЕ

Успешное решение многих практических задач построения современных радиотехнических систем связано с необходимостью создания новых источников питания, обеспечивающих передачу высоких значений энергий на нагрузку. Развитие данного направления исследования привело к созданию взрывомагнитных генераторов (ВМГ) мощных импульсов электрического тока [1–5]. В основе принципа действия ВМГ лежит явление пространственного сжатия магнитного потока под действием сверхвысоких давлений, образующихся при детонации взрывчатого вещества (ВВ). Использование в ВМГ продуктов детонации (ПД) взрывчатого вещества в качестве привода якоря обычного генератора и создания магнитного поля собственным током генератора, делает возможным значительно миниатюризировать такие источники питания при сохранении высоких значений энергии на нагрузке (до 100 Дж) [2–4]. Вследствие чрезвычайно высоких значений энергий ВМГ уничтожаются во время применения [1–5]. Однако в целом ряде случаев только они могут решить задачи питания генераторов мощного СВЧ-излучения, источников сильноточных пучков электронов и протонов для ускорителей, источников питания мощных лазеров [3–5].

Актуальность и цель исследования. В последнее время появилось достаточно много публикаций, связанных с возможностью работы ВМГ с высокоимпедансными нагрузками, применяемыми как в геофизических средствах прогнозирования землетрясений и поиска полезных ископаемых, так и в некоторых современных методах ведения радиоэлектронной борьбы [2–5]. Выбор и применение ВМГ в данных методах неразрывно связан с возможностью получения максимально возможной энергии на высокоимпедансной нагрузке. Поэтому в данной работе представлены результаты исследования преобразования энергии в замкнутом контуре импульсного ВМГ.

Для анализа физических процессов, происходящих при взрывном сжатии контура с током, рассмотрим структуру, представленную на рисунке 1.

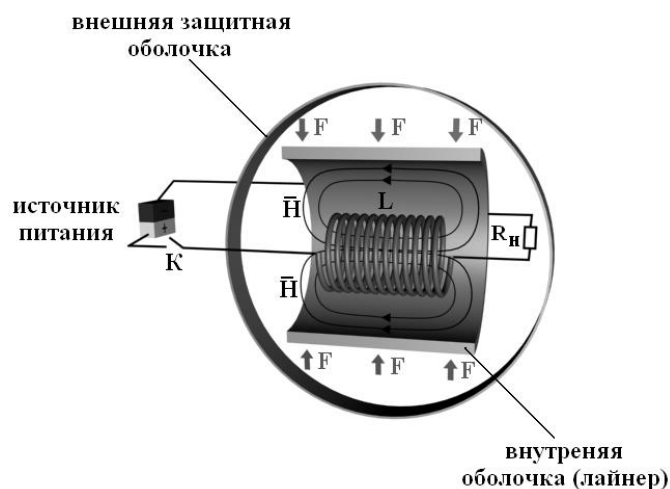


Рисунок 1 – Схема преобразования энергии в ВМГ

Данная структура имеет в своем составе некоторую замкнутую область V , ограниченную прочной защитной оболочкой, в которую помещен соленоид L . Снаружи данной структуры размещается ВВ. Кроме индуктивности данная структура содержит и активное сопротивление нагрузки R_H . При замкнутом ключе K соленоид L через внутреннюю оболочку (лайнер) подключается к источнику постоянного тока с ЭДС ε_0 (см. рисунок 1). В результате в соленоиде начинает циркулировать постоянный ток I . Однако постоянный ток, протекающий в данной цепи, не сразу достигнет предельного значения $\left(I = \frac{\varepsilon_0}{R_H} \right)$, а будет нарастать постепенно.

Явлення, происходящие при этом в контуре можно описать следующим дифференциальным уравнением:

$$\varepsilon_0 = L \frac{di}{dt} + R_h i(t), \quad (1)$$

где $L \frac{di}{dt}$ – ЭДС индукции, возникающая при подключении источника тока.

Решение уравнения (1) имеет следующий вид:

$$i(t) = \frac{\varepsilon_0}{R_h} \left(1 - e^{-\frac{t}{\tau}} \right), \quad (2)$$

где постоянная $\tau = L / R_h$ – время установления тока.

Таким образом, переходный процесс будет продолжаться на интервале времени $0 < t \leq \tau$, определяемом значениями индуктивности и активного сопротивления нагрузки. При $i(\tau) \approx I$ ток в контуре достигнет предельного значения. После окончания переходного процесса в данном контуре будет протекать постоянный ток I , который при неизменном объеме V не будет вызывать электромагнитные излучения. Поэтому на интервале времени $\tau < t \leq t_{c1}$ всю запасенную в объеме энергию содержит магнитное поле [2,3]:

$$W = \frac{1}{2} I \iint_S \mu H ds = \frac{1}{2} I \Phi. \quad (3)$$

Учитывая, что ток I и объем внутренней области V – постоянные, выражение (3) можно записать на временном интервале $\tau < t \leq t_{c1}$ в более простом виде:

$$W = \frac{1}{2} L(I)^2 \lambda, \quad (4)$$

где λ – коэффициент сохранения потока.

При подрыве ВВ (см. рисунок 1) на поверхность внутренней оболочки, обладающей ограниченной прочностью, будет действовать сила F . Под действием этой силы внутренний контур сжимается, увеличивая напряженность магнитного поля, что приводит к увеличению тока в катушке, до величины I_{c2} . Процесс взрывного воздействия на данную структуру будет лежать во временном интервале $t_{c1} < t \leq t_{c2}$. Диапазон изменения тока в данном контуре при подрыве ВВ, можно определить, используя следующее выражение [3]:

$$\frac{I_{c2}}{I} = \alpha \lambda, \quad (5)$$

где I – ток в данном контуре до подрыва ВВ, I_{c2} – ток в контуре на момент времени $t = t_{c2}$, который соответствует максимальному сжатию внутренней оболочки без ее разрыва, под действием взрывчатого вещества. Коэффициент перестройки контура α , с учетом, что индуктивность на интервале времени $t_{c1} < t \leq t_{c2}$ изменяется от первоначальной величины L до значения $L(t_{c2}) = L_{c2}$, запишем следующим образом:

$$\alpha = \frac{L_{c2}}{L} \quad (6)$$

или, учитывая выбранную структуру

$$\alpha = \frac{R_{c2}}{R_o}, \quad (7)$$

где R_o – внутренний радиус цилиндрического лайнера до детонации ВВ; R_{c2} – минимальный внутренний радиус лайнера, предшествующий его разрыву под воздействием ВВ.

Таким образом, для максимального значения тока, с учетом выбранной структуры, можно записать следующее выражение:

$$i(t_{c2}) = I_{c2} = I\lambda \frac{R_o}{R_{c2}}. \quad (8)$$

Закон изменения внутреннего радиуса цилиндрического лайнера под воздействием продуктов детонации ВВ, можно записать следующим образом [3]:

$$R_2(t) = R_o \sqrt{1 - \frac{1}{8M} \left(\frac{Dt}{R_o} \right)^2}, \quad (9)$$

где m – масса ВВ, M – масса лайнера, D – скорость сжатия лайнера.

Временная зависимость изменения внутреннего радиуса лайнера при подрыве ВВ представлена на рисунке 2. Данная зависимость построена для стального лайнера с начальным внутренним радиусом равным 6 см. Штриховыми линиями показаны значения внутреннего радиуса лайнера и времени начала образования нестабильностей, экспериментально полученные в работах [3, 4].

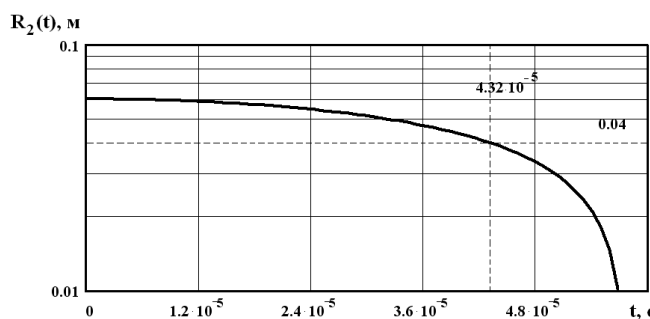


Рисунок 2 – Временная зависимость изменения внутреннего радиуса лайнера под воздействием продуктов детонации ВВ

Основываясь на (9), запишем закон изменения тока, при сжатии цилиндрического лайнера под воздействием подрыва ВВ:

$$i(t) = \frac{I\lambda}{\sqrt{1 - \frac{1}{8M} \left(\frac{Dt}{R_o} \right)^2}}. \quad (10)$$

Энергию на данном промежутке времени $t_{c1} < t \leq t_{c2}$, можно определить следующим образом:

$$W = \int_{t_{c1}}^{t_{c2}} \left[\frac{I\lambda}{\sqrt{1 - \frac{1}{8M} \left(\frac{Dt}{R_o} \right)^2}} \right]^2 \frac{1}{R_H} dt \quad (11)$$

или

$$W = \frac{I^2 \chi^2}{R_o D \sqrt{\frac{m}{M}}} \ln \left(\frac{\frac{D}{4R_o} \sqrt{\frac{m}{M}} (t_{c2} - t_{c1}) + \left(1 - \frac{1}{8} \frac{mt_{c2}t_{c1}}{M} \left(\frac{D}{R_o} \right)^2 \right)}{\frac{D}{4R_o} \sqrt{\frac{m}{M}} (t_{c1} - t_{c2}) + \left(1 - \frac{1}{8} \frac{mt_{c2}t_{c1}}{M} \left(\frac{D}{R_o} \right)^2 \right)} \right). \quad (12)$$

На рисунку 3 представлена графіческая зависимость изменения энергии, передаваемой на нагрузку от значений времени t_{c2} . Данная зависимость построена с учетом, что на интервале времени $\tau < t \leq t_{c1}$ в выбранной структуре закончился переходный процесс и накоплена первоначальная энергия. Максимальные значения энергии на нагрузке возможны при длительности интервала $t_{c1} < t \leq t_{c2}$ более $30 \cdot 10^{-6}$ с, что определяется механическими свойствами металлического лайнера.

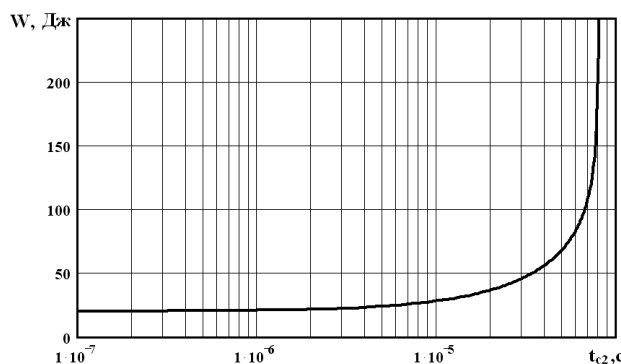


Рисунок 3 – Зависимость значений энергии, передаваемой на нагрузку при сжатии лайнера от времени начала образования нестабильностей на внутренней поверхности

Анализ результатов исследований, проведенных в работах [1–4], показал, что при деформации лайнера представляет интерес только та стадия сжатия, на которой не образуются нестабильности и внутренняя поверхность остается цилиндрической формы. Данные нестабильности образуются и развиваются из-за разницы в плотности сжимаемого металлического лайнера и среды (воздуха), где происходит деформация. При образовании и развитии нестабильностей внутренняя поверхность из цилиндрической переходит в звездообразную, что нередко сопровождается появлением разрывов (см. рисунок 4 [3, 4]).

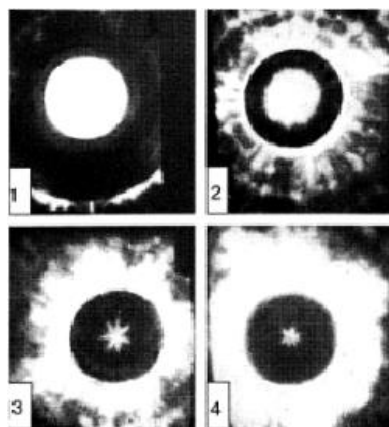


Рисунок 4 – Процесс образования нестабильностей в цилиндрическом лайнере (интервал между снимками $1,6 \cdot 10^{-6}$ с)

В работе [4], показано, что максимальное сжатие металлического лайнера без образования нестабильностей возможно лишь до диаметра в 1,5 меньшего первоначального значения (см. таблицу 1).

Таблиця 1 – Експериментальні данні возможного сжаття металлического лайнера, без обра- зования нестабильностей

Начальний внутренний диаметр лайнера, мм	Диаметр сжатого лайнера, без образования нестабильностей, мм	Коэффициент сохранения потока
33	20	0,86
45	30	0,91

Анализируя выше изложенное, необходимо заметить, что выражения (8)-(11) будут верны только до момента образования нестабильностей на внутренней поверхности лайнера, т.е.

$$t_{c1} < t \leq t_{c2} \text{ при } t_{c2} < t_{necm}, \quad (13)$$

где t_{necm} – время образования нестабильностей при сжатии цилиндрического лайнера.

Длительность импульса, который формируется данным генератором, будет зависеть от скорости сжатия цилиндрического лайнера на интервале времени $t_{c1} < t \leq t_{c2}$.

Выводы. Таким образом, максимальные значения энергии на нагрузке возможны для длительностей импульса более $30 \cdot 10^{-6}$ с. Однако, анализ результатов исследований, проведенных в работах [3–5], показал, что использование отдельных как геофизических, так и радиотехнических методов возможно лишь при длительностях импульсного воздействия на несколько порядков меньших чем для максимального значения энергии на нагрузке импульсного ВМГ. Для увеличения энергии передаваемую на высокоимпедансную нагрузку необходимо использовать комбинированную конструкцию ВМГ, сочетающую в себе как элементы импульсного, так и спирального ВМГ.

Литература

1. Сахаров А.Д. Взрывомагнитные генераторы / А.Д. Сахаров // Успехи физ. наук. – 1966. – Т. 88. Вып. 4. – С. 725–734.
2. Демидов В.А. Высокоиндуктивные взрывомагнитные генераторы с большим коэффициентом усиления энергии / В.А. Демидов, Е.И. Жариков, С.А. Казаков // ПНТФ. – 1981. №6. – С. 106–110.
3. Асиновский Э.И. Взрывные генераторы мощных импульсов электрического тока/ Э.И. Асиновский [и др.]; под ред. Фортова В.Е. – М.: Наука, 2002. – 399 с.
4. Прищепенко А.Б. Взрывы и волны. Взрывные источники электромагнитного излучения радиочастотного диапазона / А.Б. Прищепенко. – М.: БИНОМ, 2008. – 208 с.
5. Кравченко В.И. Электромагнитное оружие / В.И. Кравченко. – Харьков: из-во НТУ «ХПИ». – 2008. – 185 с.

УДК 621.373.7

Тараненко С.В.

ПЕРЕТВОРЕННЯ ЕНЕРГІЙ В ІМПУЛЬСНОМУ ВИБУХОМАГНІТНОМУ ГЕНЕРАТОРІ

В роботі представлені результати досліджень перетворення енергії в замкнутому контурі імпульсного вибухомагнітного генератора, шляхом виштовхування магнітного поля з об'єма лайнера, з вибуховою речиною.

Taranenko S.V.

THE ENERGY PERFORMANCE IN PULSE MAGNETIC EXPLOSIVE TYPE GENERATOR

The results of researches related to energy performance in closed circuit of magnetic explosive type generator are presented. The researches were carried out for case of magnetic... pushing out from inside space of ship containing explosive subsistence.